# Die Schwingungsspektren von Verbindungen des Typus C<sub>6</sub>H<sub>5</sub>PX<sub>2</sub>

Von J. GOUBEAU und D. LANGHARDT<sup>1</sup>)

Mit 1 Abbildung

#### Inhaltsübersicht

Es werden die Infrarot- und Raman-Spektren der Verbindungen  $C_6H_5PX_2$  (X=H, F,  $CH_3$ , Cl, Br) berichtet und den Grundschwingungen zugeordnet. Es werden Rückschlüsse auf die Bindungsverhältnisse gezogen.

#### Summary

The vibrational spectra of C<sub>6</sub>H<sub>5</sub>PX<sub>2</sub> (X = H, F, CH<sub>3</sub>, Cl, Br) are reported and discussed.

In einer früheren Arbeit wurde über die Schwingungsspektren der Methyl- und Phenyl-chlorphosphine berichtet²). Zur weiteren Aufklärung dieser Spektren und zum weiteren Studium der Bindungsverhältnisse des Phosphors wird im folgenden über die Schwingungsspektren von verschiedenen Verbindungen des Typus  $C_6H_5PX_2$  mit X=H, F,  $CH_3$ , Cl und Br berichtet

## Die Spektren und ihre Diskussion

In Tab. 1 sind die Frequenzen und Intensitäten der Raman- und IR-Banden dieser Verbindungen zusammengestellt. Auch das  $C_6H_5PCl_2$  wurde nochmals aufgenommen, über dessen Spektrum schon berichtet wurde²). Wie bei dessen Diskussion sind zunächst die gleichbleibenden Schwingungen des monosubstituierten Benzols bezeichnet,  $\omega_{1-6}$ ,  $\delta_{1-5}$ ,  $\gamma_{1-5}$ ,  $\Gamma_{1-3}$ . Am stärksten weichen die Werte des Fluorids ab, deutlich zu erkennen an einer Erhöhung der CH-Valenzschwingungen um ungefähr 30 cm $^{-1}$ .

Neben diesen nahezu unveränderten Schwingungen des Benzolringes sind sechs substituente abhängige Schwingungen zu erwarten,  $\nu_{1-3}$  PC,  $\delta$  PC,  $\gamma$  PC und  $\Gamma$  PC, die bei Phosphorsubstitution ungefähr bei 1100, 700,

<sup>1)</sup> DIETER LANGHARDT, Diplomarbeit, TH Stuttgart 1964.

<sup>&</sup>lt;sup>2</sup>) J. Goubeau, R. Baumgärtner, W. Koch u. U. Müller, Z. anorg. allg. Chem. 337, 174 (1965).

 ${\bf Tabelle~1}$  Spektren der Verbindungen  ${\bf C_6H_5PX_2}$  mit Intensitäten

	${ m C_6H_5PH_2} \\ { m RA~IR}$	${ m C_6H_5PF_2} \ { m RA~IR}$	${ m C_6H_5P(CH_3)_2} \ { m RA~IR}$	${^{ ext{C}_6 ext{H}_5 ext{PCl}_2}_{ ext{RA IR}}}$	${ m C_6H_5PBr_2} \ { m RA~IR}$
L CL	172 st —	175 st —		145 s — 190 m —	115 s —
δPC	254 ss —	230 sch —	250  s — $280  s$ $325  s$ ss	246 ss — 292 s —	215 s — 240 st —
$\begin{array}{c} \mathbf{A_2} \ \varGamma_1 \\ \nu_3 \ \mathrm{CP} \end{array}$	391 m st 442 ss st	395 — ss 446 ss m	390 ss st 434 — m	395 schs 420 ss st 452 m st	374 sst st 403 st st 422 st st
D.G.	<b>5</b> 20	521 ss st —	481 ss st	497 st st	474 s st 510 - s
$egin{array}{c} \gamma \ \mathrm{PC} \ \mathrm{B_1} \ arGamma_2 \end{array}$	538 — m 620 s ss	541 s sst 620 st st	620 m — 653 st m	542 — s 615 m s	543 — sch 615 s ss
$egin{array}{c} \mathbf{B_2} \ \mathbf{arGamma_3} \\ \mathbf{v_2} \ \mathbf{C-P} \end{array}$	687 — st 693 m —	682 - st $700 st s$		687 s sst 687 s sst 719 — s	890 — sst 698 s sch
$egin{array}{c} \mathrm{B_2} \ \ \gamma_1 \ \mathrm{A_2} \ \ \gamma_2 \end{array}$	715 s sst 820 m st 845 — sch	745 ss st 827— sst	/372  ss sst $/815  ss s$	743 ss sst 841 ss m	837 ss sst 835 ss m
TD		865 m st	860 ss m 890 st sst		
$egin{array}{c} \mathrm{B_2} \ \ \gamma_3 \ \\ \mathrm{A_1} \ \ \gamma_4 \end{array}$	920 ss sch 965 sch s	930 — sch 947 sch sst	$937  \mathrm{s}$ sst $970  \mathrm{sch}  \mathrm{sch}$	927 ss m 970 — sch	910 — ss
$egin{array}{lll} A_1 & \omega_1 & & \\ A_1 & \delta_1 & & \\ B_1 & \delta_2 & & \end{array}$	1000 sst s 1025 m m 1065 s m—st	1000 sst ss 1035 st ss 1060 — sch	999 sst m 1027 st m 1066 — m	1000 sst st 1026 st m 1065 — m	993 sst st 1025 m s 1060 —m
<sub>1</sub> C-P	1110 m m 1123 — s	1122 st sst	1103 st st	1089 st sst 1116 — s	1079 st st 1098 ss st
$\begin{array}{cc} \mathbf{B_1} \;\; \boldsymbol{\delta_3} \\ \mathbf{A_1} \;\; \boldsymbol{\delta_4} \end{array}$	$1158  { m s}  { m sch} \ 1185  { m s}  { m m} \ 1256  -  { m ss} \ $	1170 m s 1197 s m	1157 m ss 1198 s m	1159 m m 1180 s m 1224 — s	1157 s s 1181 s s 1253 ss st
$\begin{array}{ccc} \mathbf{B_1} & \delta_5 \\ \mathbf{B_1} & \boldsymbol{\omega_2} \end{array}$	1293 - s $1328 - s$	1280 — s 1335 — m	1273 — m 1287 m st 1315 — s	1274 ss st 1326 ss st	1300 — m 1330 — m
$B_1 \omega_3$	1376 - ss $1435 ss st$	1393 - s $1444 ss st$	1375 — sch 1842 m sst	1380 ss m 1437 s sst	1375 - ss $1432 ss st$

Tabelle 1 (Fortsetzung)

		<del></del>			<del> </del>
	$egin{array}{c} { m C_6H_5PH_2} \\ { m RA~IR} \end{array}$	$egin{array}{c} { m C_6H_5PF_2} \\ { m RA~IR} \end{array}$	${ m C_6H_5P(CH_3)_2} \ { m RA~IR}$	${ m C_6H_5PCl_2} \ { m RA~IR}$	$\begin{array}{c} \mathrm{C_6H_5PBr_2} \\ \mathrm{RA~IR} \end{array}$
$A_1 \omega_4$	1482 - st	1490 ss m	1485 ss st	1489 ss st	1482 ss m
		1532 - ss		1529 - s	1520 - ss
$B_1 \omega_5$	1568 - s				
$A_1 \omega_6$	$1587 \mathrm{\ st} \mathrm{\ m}$	1600 sst st	1584  sst m	$1588 \mathrm{\ sst\ sst}$	1580 sst m
	1630 ss	1618 ss	1645 ss		1650 ss
		1682 s		1662	
	1745 ss	1775 s		1755 s	1750 ss
	1797 s	1815 m	1795 ss	1870 m	1790 s
	1865 s		1867 ss		1875 s
Kombina-				1889 m	1895 sch
tions-		1910 s		1911 s	
schwin-	1945 s		1943 s	1968 s	1953 s
gungen		1980 s		1989 s	1975 sch
		2006 sch			
		2230 ss			
$v \text{ PH}_2$	2270 sst		2260 ss		
	2290  sst sch	2280	2288  ss		
			2770 m		
			2812  ss		
ν CH <sub>3</sub>	,		2857 st		
		2920  ss	2897 st		
	$2965 \mathrm{\ ss\ sch}$	2975  ss			
	3010 st		$3010 \mathrm{\ st}$	3005 s	3015 sst
ν CH <sub>asym</sub>	3050  sst	3040 m	3050  sst	3057 st	3058  sst
		3082 sst			

 $430-450,\ 300,\ 470\ \mathrm{und}\ 200\ \mathrm{cm}^{-1}$ zu erwarten sind.  $v_1$ und<br/>  $v_3$  sind gut zu erkennen. Sie zeigen, wenn man von den etwas höher liegenden Werten des Fluorids absieht, die für die Zunahme der Substituentenmasse zu erwartende Abnahme:  $v_1$  1110–1079,  $v_3$  442–422 cm<sup>-1</sup>. Nicht ganz so klar läßt sich  $\nu_2$  erkennen. Sie tritt meistens als starke RAMAN-Linie auf, die im Hydrid und Fluorid auch bei 693 und 700 cm<sup>-1</sup> beobachtet wird. Aus Analogiegründen müssen auch in den übrigen drei Verbindungen ähnliche Frequenzwerte zugeordnet werden, obwohl die Intensitäten der RAMAN-Linien deutlich abgenommen haben. Als  $\delta$  CP können die in allen Spektren auftretenden Frequenzen um 250 cm<sup>-1</sup> betrachtet werden, die auch einen schwachen Masseneffekt erkennen lassen. y PC wird im Hydrid 538, im Fluorid 521 oder 541 und in der Methylverbindung 481 cm<sup>-1</sup> zugeordnet. Aus diesem Frequenzverlauf muß gefolgert werden, daß hier der Masseneffekt gegenüber der Änderung der Bindungskräfte zurücktritt. Im Chlorid konnte die Linie früher nicht zugeordnet werden. Da aus Intensitätsgründen im Bromid der  $\gamma$  PC 474 cm<sup>-1</sup> zugeordnet wird, so darf im Chlorid für diese Schwingung eine

zufällige Entartung mit  $\nu_{\rm s}$  PCl<sub>2</sub> 497 cm<sup>-1</sup> angenommen werden. Die  $\Gamma$  PC wird im Hydrid und Fluorid der starken Raman-Linie 175 cm<sup>-1</sup> zugeordnet. In den anderen Spektren wird sie nicht beobachtet, bzw. läßt sich nicht eindeutig erkennen.

Neben den Schwingungen des mit einem Phosphoratom substituierten Benzolringes liegen noch die inneren Schwingungen von  $PX_2$  vor, zwei Valenzschwingungen  $\nu_s$ ,  $\nu_{as}$  eine  $\delta$ , eine  $\varrho$  und  $\gamma$ . Die Frequenzwerte der ersten drei dürften denen von  $PX_3$  ähnlich sein. Sie müssen sich in den Spektren deutlich abheben, da sie nur in den betreffenden Spektren auftreten. Die getroffene Zuordnung ist in Tab. 1 durch Verbindungslinien wiedergegeben und die Frequenzwerte sind in Tab. 2 nochmals zusammengestellt.

Tabelle 2  ${\bf Valenz-und\ Deformations schwingungen\ der\ Gruppe} \\ {\bf PX_2}$ 

	$\mathrm{PH}_2$	$\mathrm{PF}_2$	$P(CH_3)_2$	$\mathrm{PCl}_2$	$PBr_2$
$r_{ m s}$	2290	865	653	497	374
$v_{ m as}$	2270	947	707	452	403
δ	1123	541	325	292	215
$\gamma$ oder $\varrho$	_	320	280	190	115

Für die spezielle Zuordnung wurden die Intensitäten mitberücksichtigt. Die stärksten RAMAN-Linien wurden den symmetrischen Valenzschwingungen zugeordnet, die stärksten IR-Banden den antisymmetrischen. Beim Chlorid und besonders beim Bromid ist die Zuordnung etwas schwierig, da die Valenzschwingungen in das Gebiet von  $\gamma$  PC und  $r_3$  PC fallen, so daß Kopplungen auftreten. So ist der zu hohe Wert 422 für  $r_3$  PC im Bromid mit der Abstoßung durch  $r_8$  PBr $_2$  bei 374 cm $^{-1}$  zu erklären, die derselben Schwingungsrasse angehört. Noch schwieriger ist die Zuordnung der Deformationsschwingungen, da Erwartungen für diese Schwingungen unsicher sind. Dazu kommen noch Kopplungen, so daß die in Tab. 2 gegebene Zuordnung beim Chlorid und Bromid unsicher ist. Schließlich sind noch die inneren Schwingungen der CH $_3$ -Gruppen in den üblichen Bereichen zu erkennen:  $\varrho$  CH $_3$  860, 890, 937,  $\delta_8$  1273, 1287,  $\delta_{as}$  1428 und  $\nu$  2770, 2812, 2857, 2897 cm $^{-1}$ , die merkwürdig tief liegen.

Vergleicht man die Mittelwerte der PX-Valenzschwingungen in  $C_6H_5PX_2$  und  $PX_3$  (Tab. 3), so ergeben sich beim Hydrid und Fluorid deutliche Änderungen, die nicht auf Kopplungen zurückzuführen sind, sondern Änderungen der Bindungen entsprechen. Beim Chlorid und Bromid sind wegen der Kopplung mit Ringschwingungen keine sieheren Aussagen möglich.

Eine einfache Kraftkonstantenberechnung ergibt beim Hydrid eine Erniedrigung von k PH von 3,36 auf 3,1, während sich beim Fluorid eine Erhöhung von 4,6 im PF<sub>3</sub> auf 5,1 mdyn/Å ergibt. Für die Methylverbindung darf auf dieselbe Kraftkonstante wie im  $P(CH_3)_3$  k PC = 2,77 mdyn/Å geschlossen werden.

 $Tabelle~3\\ Mittelwerte~der~Valenzschwingungen~von~PX_3~und\\ C_6H_5PX_2$ 

	P <b>H</b>	PF	PCH <sub>3</sub>	PCl	PBr
$\mathrm{PX}_3$	2374	865	681	495	<b>39</b> 0
$C_6H_5PX_2$	2280	906	680	475	389
Δ	-94	+41	1	-20	-1

Leider ist zur Zeit eine einigermaßen sichere Berechnung der Kraftkonstanten von monosubstituierten Benzolderivaten nicht möglich, so daß aus den Frequenzwerten über die PC-Bindungen nicht viel ausgesagt werden kann. Mit einiger Sicherheit kann gefolgert werden, daß k PC im Fluorid höher ist als in der Methylverbindung. Dagegen erlaubt das Intensitätsverhältnis  $\omega_6/\omega_1$  im Raman-Effekt eine Aussage über die Bindungsverhältnisse im Ring und damit auch über die PC-Bindung. Die Werte für diese Verhältnisse in den untersuchten Verbindungen sind in Tab. 4 mit den Werten für  $C_6H_5H$ ,  $C_6H_5F$ ,  $C_6H_5CH_3$ ,  $C_6H_5OH$  und  $C_6H_5NH_2^3$ ) zusammengestellt, bei denen in steigendem Maße ein Doppelbindungsanteil zwischen Substituenten und Ring anzunehmen ist.

Tabelle 4 Intensitätsverhältnisse  $\omega_6/\omega_1$  im Raman-Effekt von monosubstituierten Benzolen

$C_6H_6$ -	Н	CH <sub>3</sub>	F	$PH_2$	ОН	$P(CH_3)_2$	$PF_2$	PCl <sub>2</sub>	$\mathrm{NH}_2$	$PBr_2$
$\omega_6/\omega_1$ Bind. Gr.	0,13 1,00	1 ′	0,29 1,06	0,38 1,09	0,39 1,09	0,43 1,10	0,60 1,16		0,83 1,24	

Nimmt man nun im Benzol einen Bindungsgrad 1,00 für CH an und im Anilin den von Coulson angegebenen Wert von 1,244), weiterhin Proportionalität zwischen  $\omega_6/\omega_1$  und Bindungsgrad, so ergeben sich die in Tab. 4 angegebenen Bindungsgrade, die natürlich in ihren Absolutwerten sehr unsicher sind, aber zu Vergleichszwecken herangezogen werden können. So ergibt sich beim Übergang von NH<sub>2</sub> zu PH<sub>2</sub> die erwartete Erniedrigung. Auch die geringe Änderung zur Methylverbindung ist verständlich. Interessant und zunächst überraschend sind die Effekte bei den Halogeniden. Es ergibt sich, daß der PC-Bindungsgrad im Bromid am höchsten ist. Nimmt man an, daß die Tendenz zur Ausbildung höherer Bindungsgrade mit der Elektronegativität zunimmt (vgl. Bindungsgrade in PF<sub>3</sub> 1,70, PCl<sub>3</sub> 1,32, PBr<sub>3</sub> 1,25), so muß in einer Verbindung, in der Fluor und Phenyl gleichzeitig gebunden

<sup>3)</sup> E. Rau, Staatsexamensarbeit, TH Stuttgart 1959.

<sup>4)</sup> C. A. Coulson, Valence S. 273 Oxford 1961.

sind, das Fluor den höchsten Bindungsgrad aufweisen. Tatsächlich ist im C<sub>6</sub>H<sub>5</sub>PF<sub>2</sub> der Bindungsgrad mit 1,86 sogar noch höher als im PF<sub>3</sub>. Damit ist aber das Elektronendefizit am Phosphor schon weitgehend ausgeglichen, so

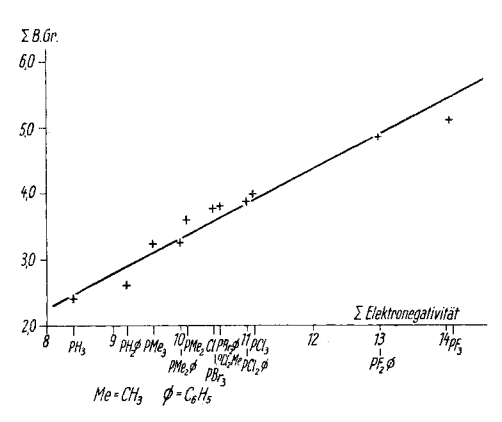


Abb. 1. Summe der Bindungsgrade verschiedener Phosphorverbindungen gegen Summe der Elektronegativitäten

daß sich für PC nur noch ein Bindungsgrad von 1,16 ergibt. Geht man nun zum Chlorid und Bromid über, bei denen für PCl und PBr ungefähr die gleichen Bindungsgrade wie im PCl<sub>3</sub> und PBr<sub>3</sub> anzunehmen sind, so sind diese nicht mehr in gleicher Weise geeignet, das Elektronendefizit des Phosphors zu decken, so daß in steigendem Maße der Kohlenstoff herangezogen wird: 1,22 und 1,30.

Bildet man für die verschiedenen Verbindungen die Summe der ermittelten Bindungsgrade,

die als Maßstab für die an den Bindungen beteiligten Elektronen gelten können, und vergleicht man diese Zahlen mit der Summe der Elektronegativitäten aller Gruppen, die an den Phosphor gebunden sind, so ergibt sich eine ungefähr lineare Beziehung (Abb. 1). Dabei wurde für die Elektronegativität des Kohlenstoffs im Phenylrest der höhere Wert von 2,9

Tabelle 5 Summe der Bindungsgrade verschiedener Phosphorverbindungen im Vergleich zur Summe der Elektronegativitäten der Gruppe PX3

	·	$oldsymbol{\mathcal{\Sigma}}$ BindGrade	$\mathcal{\Sigma}$ Elektronegativität
$\Pr_3\\\mathrm{C_6H_5PF_2}$	$egin{array}{cccccccccccccccccccccccccccccccccccc$	5,10 4,88	14,1 13,0
$PCl_3$	3  imes 1,32	3,96	11,1
$\mathrm{C_6H_5PCl_2} \ \mathrm{CH_3PCl_2^{\ 2}})$	$egin{array}{cccc} 2 & \times 1,32+1,22 \ 2 & \times 1,37+1,08 \end{array}$	3,86 3,82	11,0 10,6
$egin{array}{c} \mathrm{C_6H_5PBr_2} \\ \mathrm{PBr_3} \end{array}$	$egin{array}{cccccccccccccccccccccccccccccccccccc$	3,80 3,75	10,6 10,5
$\begin{array}{c} (\mathrm{CH_3})_2\mathrm{PCl}^{2}) \\ \mathrm{P}(\mathrm{C_6H_5})_3 \end{array}$	$egin{array}{ccc}  extbf{1,36} + 2 &  imes  extbf{1,10} \  extbf{3} &  imes  extbf{1,18} \end{array}$	3,56 3,54	10,1 10,1
$\mathrm{C_6H_5P(CH_3)_2} \ \mathrm{P(CH_3)_3}$	$egin{array}{ccc} 2 &  imes 1,08 + 1,10 \ 3 &  imes 1,08 \end{array}$	3,26 3,24	10,0 9,6
$\mathrm{C_6H_5PH_2} \\ \mathrm{PH_3}$	$egin{array}{cccccccccccccccccccccccccccccccccccc$	2,59 2,43	9,2 8,4

angesetzt. Berücksichtigt man, daß die gesamten Zahlenwerte unter verhältnismäßig sehr einfachen Vorstellungen erhalten wurden, so ist diese Beziehung doch überraschend gut gegeben. Dies darf als Beweis angesehen werden, daß für die Ausbildung von Mehrfachbindungen nicht die Elektronegativität eines einzelnen Atoms maßgeblich ist, sondern die Summe der Elektronegativitäten aller Atome, die der Bindung benachbart sind<sup>5</sup>). Eine ähnliche Beobachtung machten verschiedene Autoren an Zinnverbindungen mit Hilfe des Mössbauer-Effektes<sup>6</sup>).

### **Experimentelles**

Als Ausgangsmaterial wurde Phenyldichlorphosphin nach E. L. Gefter') über das aus Benzol, Phosphortrichlorid und Aluminiumchlorid resultierende Additionsprodukt von AlCl<sub>3</sub> durch Umsetzung mit Pyridin erhalten. Ausbeute: 76%; Kp.<sub>1</sub> 60°.

Phenyldifluorphosphin: In einem mit absteigendem Liebig-Kühler, Gaseinleitungsrohr und Tropftrichter ausgerüsteten 250-ml-Dreihalskolben wurden 50 g (0,29 Mol) SbF<sub>3</sub> und eine Spatelspitze SbCl<sub>5</sub> gegeben und tropfenweise 50 g (0,30 Mol)  $C_6H_5PCl_2$  zugesetzt. wobei sich der Kolbeninhalt erwärmte. Anschließend wurde einige Stunden im Ölbad auf 140 °C erhitzt, wobei sich in der Vorlage schon einige ml Rohprodukt sammelten. Bei Steigerung der Badtemperatur auf 170—180 °C destillierte das gesamte Rohprodukt bei 120 bis 130 °C über. Eine Reinigung durch fraktionierte Destillation ergab eine Ausbeute von 64%. (Kp.<sub>760</sub> 122 °C, Fp. -36 °C). Der Kp. weicht stark vom Literaturwert<sup>8</sup>) (64–70 °C) ab.

 $C_6H_5PF_2$ : P 21,45 (ber. 21,20); F 26,48 (ber. 26,00); Mol.-Gew. 144  $\pm$  9 (ber. 146).

Phenyldifluorphosphin ist eine farblose, gegen feuchte Luft empfindliche Flüssigkeit, die weniger unangenehm riecht als das Phenyldichlorphosphin.

Phenyldibromphosphin wurde durch Umhalogenierung des Chlorids (89 g = 0.53 Mol) mit trockenem Bromwasserstoff nach A. MICHAELIS³) in einem 250-ml-Zweihalskolben in einem Metallbad von  $250-270\,^{\circ}\mathrm{C}$  in  $8^{1}/_{2}$  Stunden erhalten. Das Ende der Reaktion wurde durch Wägung ermittelt. Die Reinigung des Rohproduktes erfolgte durch eine einfache Kurzweg-Destillation bei einer Badtemperatur von  $160-180\,^{\circ}\mathrm{C}$ , indem das Rohprodukt in den erhitzten, evakuierten Kolben ganz langsam getropft und das Destillat über einen sehr kurzen Luftkühler in eine Kühlfalle aufgefangen wurde (Methanol/Trockeneis). Diese Operation war notwendig, weil das Bromid bei der Destillation unter Normaldruck (Kp. 255 °C) sich unter Ausbildung eines festen, gelben Niederschlages zersetzt (Ausbeute 90%).

 $C_6H_5^*PBr_2$ : P 11,61 (ber. 11,57); Br 58,86 (ber. 59,70); Mol.-Gew. 258  $\pm$  9 (ber. 268).

<sup>&</sup>lt;sup>5</sup>) J. Goubeau, Angew. Chem. **69**, 77 (1957).

<sup>6)</sup> A. J. F. BOYLE, D. SR. P. BUNBURY u. C. EDWARDS, Proc. physic. Soc. [London] 79, 416 (1964); N. N. DELYAGIN u. V. J. GOLDOWSKI, Verh. d. Konferenz ü. d. MÖSSBAUER-Effekt, Dubna 1963; R. H. HERBER u. A. STÖCKLER, Chem. Engng. News 13. VIII, 66 (1964).

<sup>7)</sup> Е. L. Gefter, Журнал общей Химии [J. allg. Chem.] 28, 1338 (1958).

<sup>8)</sup> V. N. Kulakova, Журнал общей Химии [J. allg. Chem.] 29, 3957 (1959).

<sup>9)</sup> A. MICHAELIS, Ber. dtsch. chem. Ges. 9, 519 (1876).

Phenylphosphin wurde nach W. Kuchen<sup>10</sup>) aus dem Chlorid  $C_6H_5PCl_2$  durch Umsetzung mit Lithiumaluminiumhydrid erhalten ( $Kp_{-11}$  41°; Ausbeute 49%).

 $C_6H_5PH_2$ : P 27,31 (ber. 28,18); Mol.-Gew.  $104 \pm 11$  (ber. 110).

Phenyldimethylphosphin wurde nach J. Meisenheiner<sup>11</sup>) durch Umsetzung des Chlorids mit Methylmagnesiumsjodid erhalten (Kp.<sub>13</sub> 83-84 °C; Ausbeute 40%).

 $C_6H_5P(CH_3)_2$ : P 21,83 (ber. 22,46); Mol.-Gew. 120  $\pm$  12 (ber. 138).

Zur Phosphorbestimmung wurden die Substanzen mit etwas Zucker und  $\mathrm{Na_2O_2}$  als Oxydationsmittel in einer Parr-Bombe zur Explosion gebracht und die gebildete Phosphorsäure als Magnesiumpyrophosphat ausgewogen. Fluor wurde gravimetrisch als Calciumfluorid und Brom gravimetrisch als Silberbromid bestimmt. Die Molekulargewichtsbestimmung erfolgte kryoskopisch in Benzol.

Die IR-Spektren wurden im NaCl- und CsBr-Bereich mit einem Perkin-Elmer-IR-Spektrometer, Modell 21, aufgenommen. Zur Aufnahme der Raman-Spektren diente ein Cary-Raman-Spektrometer, Modell 81.

Für die apparative Untersuchung danken wir der Deutschen Forschungsgemeinschaft und dem Ministerium für Wissenschaftliche Forschung.

Stuttgart, Laboratorium für anorganische Chemie der Technischen Hochschule.

Bei der Redaktion eingegangen am 14. Dezember 1964.

<sup>&</sup>lt;sup>10</sup>) W. Kuchen, Chem. Ber. 91, 2300 (1958).

<sup>&</sup>lt;sup>11</sup>) J. Meisenheiner, Liebigs Ann. Chem. 449, 227 (1926).